

神戸大学工学部 正員 畑中元弘

鋼板セル式岸壁の地震時にかけた安定性に関する資料を以下に示す。長さ4.8m、高さ2.0m、奥行き1.6mの片側ガラス張りの打壓式振動水槽と用いて縮尺約1/3のセル岸壁の模型実験と、主な結果Y15のセル種型について定常振動とそれに場合の応力に関する実験を行つて「III-2」、中间報告レポートまでまとめられ小冊子の形態で報告している。

### 1. 岸壁模型の振動実験

模型の製作は左右2つは重物比の相似性<sup>\*</sup>に注意しつつ、鋼板セルは薄板のグリナ板を使用しておらず、その厚さは模型に要求された壁工の約3倍(0.3mm)である。岸壁模型は中央のセル一基とその両側の半円型セル2基およびアーチ部より成り、重物2t以下アーチ部は半径2tの3倍が模型2tのセルと同一重さの一級板とした。(図-4参照)。模型の地動は地震動の周期を0.6~0.8sec程度のもとに対するものとされ、セルの中詰土や壁背土の密接状態、場合と密接場合、地動初期が海側か土台側に向う場合を考へ4組の模型について実験した。図-1はセルの中詰土、海側面か土台(水槽底面)の最大加速度の分布を示したもので、各測定値は以後に掲げた図と同様に、前の振動上より影響を含む右端を示す。地動をかけ以後の模型セルの永久変形は図-2のようであり、ある一定の加速度と変位の増加割合が階段的につかり、土の性質の変化したことと予測される。主な密接模型(No.3)よりも緩い密接の模型(No.2)の方が、地動が海側へ向う場合(No.2)より土側へ向う場合(No.4)の方が変位が大きい。一方No.1模型は水の場合とある。図-3はセル中詰土、セル、壁背土の低下状況の一例を示したものであるが、セルの前倒のため壁背土の大半が低下が生じ、図-4のよう活潰化が発生しつつ、セルのすべり出しは僅少である。

### 2. セルの応力について

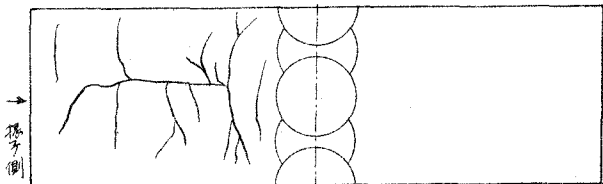


図-4 振動後の地盤の変形(模型No.2)

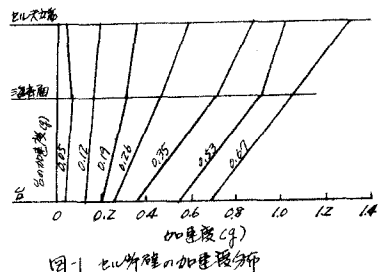


図-1 セル断面の加速度分布

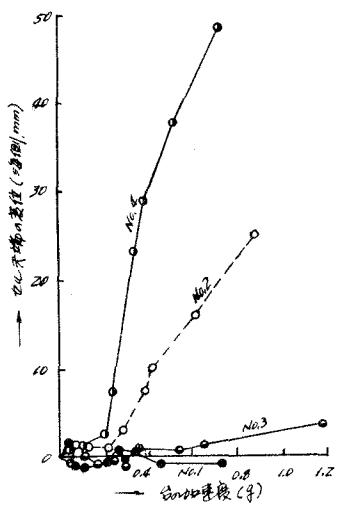


図-2 セル天端の変位と加速度との関係

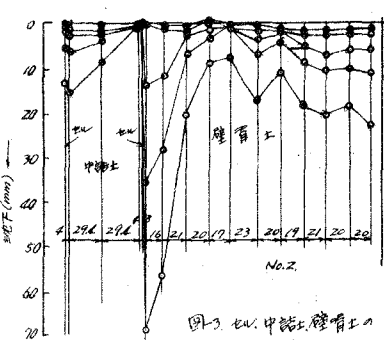


図-3 セル、中詰土、壁背土の変位(例)

中詰土の振動排水下におけるセルの応力状態を調べるために、中詰土の土柱測定と先だつて土不透水性壁 $\times$ 2 + 100 cm × 76 × 0.3 cm の鋼板セル上に通常加振した場合、振動後のセル内測定を行った。まず図-5は不可逆変形量と中詰土砂の排水量と振動の経過時間、加速度

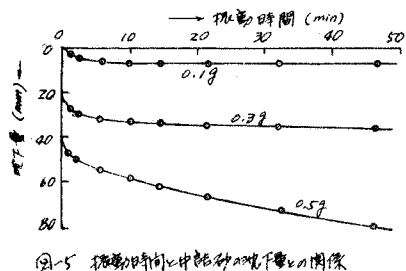


図-5 振動時間と中詰砂の排水量の関係

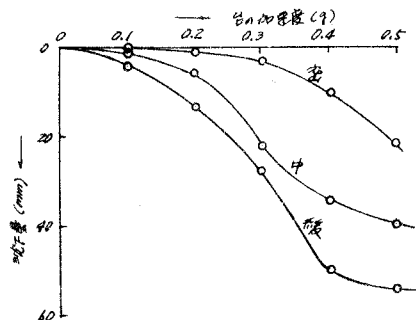


図-6 加速度と中詰土の排水量との関係

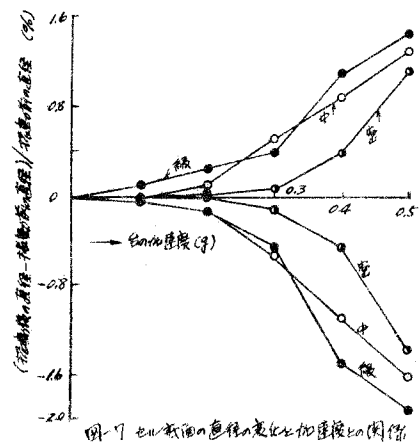


図-7 土表面の直線の変化と加速度との関係

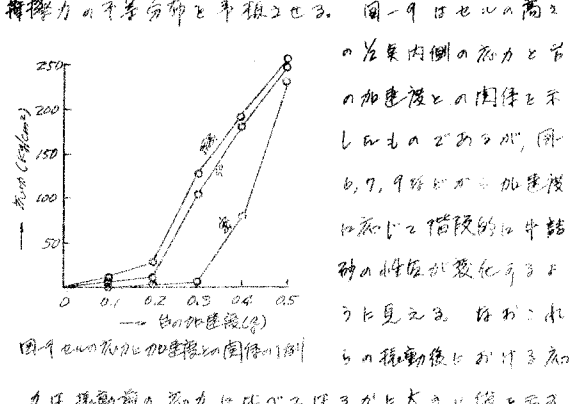
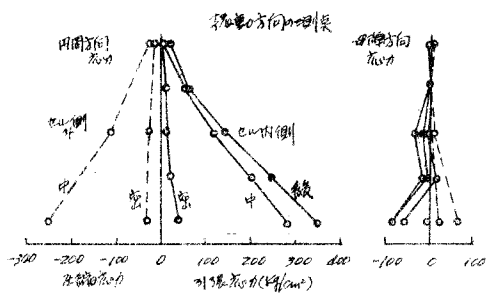


図-8 土表面の分布の比較  
図-9 土表面の分布と加速度との関係

との間の関係を示すが、二軸から以後進行する室温の中詰砂の密接と加速度と振動時間との間に正の相関性が認められた。図-6は中詰砂の密接が3回の場合と4回の場合との

中詰砂の排水量(13測定の平均値)と各の加速度との関係を示したもので、二の場合は図-5のよう、振動方向を矩形とし、二軸と直角方向を長辺とする構造柱に变形し、図-8のように応力状態となる。図-8によれば周囲方向の応力は二軸と直角方向の応力より多くなり大きくなり、またセルの内側と外側との応力の符号が逆となり、周囲方向の曲げ応力がアーチアンション化される大生じこどもしきおり、主なセルの等方状態の場合は二の变形は3曲げ応力と一筋横計して次の如きが得られる。

左左、 $\sigma_1 - \sigma_2 = \sigma_3$  と二軸振動方向と二軸と直角方向との大きさの大きさは等しい。砂と壁面との間の摩擦力の不等分布が原因である。図-9はセルの高さの内側の応力と各の加速度との関係を示したもので、図-6, 7, 9終り方と加速度による振動の性質が異なることがわかる。

右右、振動後における各の応力は振動前のものよりも大きくなる。左左と右右の振動前後の応力比は大きくなる。左左と右右の振動前後の応力比は大きくなる。